

КРАТКИЕ СООБЩЕНИЯ

УДК 662.215.2

**ЭКСПЕРИМЕНТАЛЬНОЕ ОПРЕДЕЛЕНИЕ
КОЭФФИЦИЕНТА ПОГЛОЩЕНИЯ СВЕТА
И ПРОВОДИМОСТИ УДАРНО СЖАТЫМИ ИОННЫМИ КРИСТАЛЛАМИ**

*Г. А. Кириллов, М. В. Синицын, Ф. В. Григорьев, С. Б. Кормер,
В. А. Самылин, О. Н. Кузнецов
(Москва)*

Настоящая статья является продолжением работы по изучению поглощения света и проводимости ударно сжатых ионных кристаллов, начатой в [1].

Экспериментально измерены коэффициенты поглощения видимого света (длины волн $\lambda_1=4780 \text{ \AA}$ и $\lambda_2=6250 \text{ \AA}$) и проводимости для ударно сжатых ионных кристаллов KBr и KCl. Диапазон давлений, при которых проведены измерения, составляет $150 \pm 350 \text{ кбар}$, при этом коэффициенты поглощения и проводимость изменяются от 2,5 до 30 л/см и от $30 \cdot 10^{-3}$ до $5,4 \cdot 10^{-1} \text{ 1/ом} \cdot \text{см}$ соответственно. Как и для NaCl [1], для KBr и KCl коэффициент поглощения света в этих условиях более чем в 100 раз превосходит его значение при нормальных условиях.

Предложенный в [1] механизм, согласно которому на фронте ударной волны ионный кристалл, первоначально являющийся диэлектриком, переводится в результате пластической деформации в полупроводниковое состояние с донорными условиями, термическая диссоциация которых обусловливает появление свободных электронов

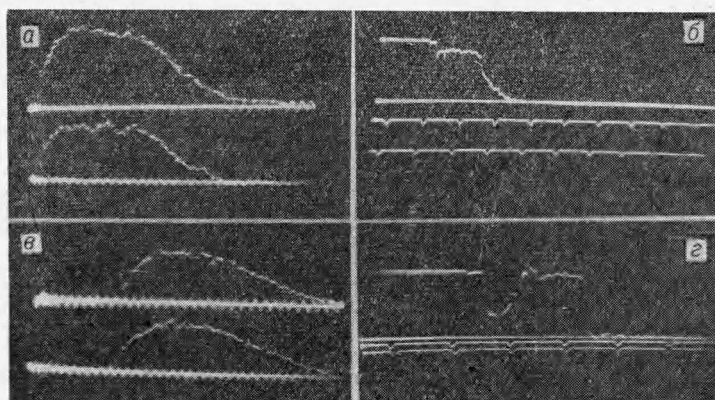


Рис. 1. Характерные осциллограммы измерения коэффициентов поглощения и проводимости.

KCl: а — поглощение, б — проводимость; KBr: в — поглощение, г — проводимость.

в зоне проводимости, позволяет удовлетворительно описать полученные экспериментальные данные по коэффициенту поглощения света и проводимости ударно сжатых КВг и KCl. Коэффициенты поглощения света измерялись по методу [1, 2].

Температура ударно сжатого KCl взята из [3] как средняя из измеренных в синей и красной областях спектра. Для кристалла KBr проведены измерения температур методом, изложенным в [3].

Таблица 1

$p, \text{кбар}$	σ	$D, \frac{\text{км}}{\text{сек}}$	$T, ^\circ\text{К}$	$\alpha, 1/\text{см}$	$\Sigma, 1/\text{ом}\cdot\text{см}$	$\mu, \frac{\text{см}^2}{\text{в}\cdot\text{сек}}$	$N_e, \text{см}^{-3}$
237	1,60	5,64	2250	2,5	$2 \cdot 10^{-2}$	0,55	$2,24 \cdot 10^{17}$
290	1,65	6,10	3350	10	$6,8 \cdot 10^{-2}$	0,43	$1,00 \cdot 10^{18}$
353	1,71	6,53	3820	17	$2,98 \cdot 10^{-1}$	0,42	$4,40 \cdot 10^{18}$

Проводимость ионных кристаллов KCl и KBr измерялась при различных давлениях и температурах [4] в условиях, когда измерительные электроды располагались так же, как в работе [5], параллельно фронту ударной волны.

Характерные осцилограммы, полученные в опытах по измерению коэффициентов поглощения света и проводимости, представлены на рис. 1. Параметры ударных волн в кристаллах KCl и KBr взяты из работ [6, 7]. Полученные экспериментальные результаты представлены в табл. 1 для KCl и в табл. 2 для KBr.

Имея две независимо измеренных величины — коэффициент поглощения α и проводимость Σ — и считая, что обе они определяются свободными носителями, можно найти подвижность μ и концентрацию свободных электронов N_e .

Таблица 2

$p, \text{кбар}$	σ	$D, \frac{\text{км}}{\text{сек}}$	$T, ^\circ\text{К}$	$\alpha, 1/\text{см}$	$\Sigma, 1/\text{ом}\cdot\text{см}$	$\mu, \frac{\text{см}^2}{\text{в}\cdot\text{сек}}$	$N_e, \text{см}^{-3}$
152	1,56	3,92	1730	—	$3,10^{-3}$	—	—
180	1,60	4,18	2300	2,5	$1,21 \cdot 10^{-2}$	0,1	$7,50 \cdot 10^{17}$
225	1,66	4,54	2970	11	$7,07 \cdot 10^{-2}$	0,35	$1,26 \cdot 10^{18}$
250	1,70	4,70	3220	20	0,124	0,32	$2,4 \cdot 10^{18}$
282	1,73	4,93	3820	29	0,54	1,0	$3,4 \cdot 10^{18}$

В рамках классической теории коэффициент поглощения α связан с концентрацией свободных носителей, частотой падающего света v и параметром затухания q соотношением Друде — Зинера

$$\alpha = \frac{2N_e e^2}{ncm} \cdot \frac{q}{v^2 + q^2}, \quad (1)$$

где n — показатель преломления, определяемый по данным работы [8]; c — скорость света; m — масса электрона. Параметр затухания q связан с подвижностью соотношением

$$\mu = \frac{e}{2\pi mq}. \quad (2)$$

Проводимость определяется по концентрации свободных электронов и подвижности через соотношение

$$\Sigma = N_e \mu e. \quad (3)$$

Из (1) — (3) легко получить

$$q = \frac{v}{(4\pi \sum / \alpha nc - 1)^{1/2}}.$$

Полученные таким образом по экспериментально измеренным проводимости и коэффициенту поглощения значения подвижности и концентрации электронов приведены в таблицах. Среднее значение подвижности для всех состояний КВг и KCl составляет $0,4 \text{ см}^2/\text{в} \cdot \text{сек}$, что несколько отличается от подвижности для NaCl [1]. Оценка подвижности по Займану [9], по соотношению

$$\mu \approx \frac{3\hbar^2}{\pi^{3/2} 2^{9/2} em^{3/2} c_0} \cdot \frac{1}{(k T)^{1/2}}, \quad (4)$$

где $c_0 = \frac{1}{\epsilon_\infty} - \frac{1}{\epsilon_0}$, а ϵ_0 — статическая диэлектрическая проницаемость, дает значение подвижности $\approx 2 \text{ см}^2/\text{в} \cdot \text{сек}$. Полученное в настоящей работе значение подвижности примерно в 5 раз отличается от оценки по Займану. Однако следует оговорить, что оценочный характер соотношения (4) и отсутствие экспериментальных данных для ϵ_0 в исследуемой области давлений для KCl и KBr позволяет говорить об удовлетворительном согласии между экспериментально полученными значениями подвижности и оценками на основе теоретических представлений.

При концентрации доноров $2,5 \cdot 10^{19} \text{ см}^{-3}$ для KBr и 10^{19} см^{-3} для KCl, ширине энергетической щели между донорными уровнями и зоной проводимости 2,3 эв для обоих кристаллов и подвижности $0,4 \text{ см}^2/\text{в} \cdot \text{сек}$ были рассчитаны коэффициент поглощения при $v=4,8 \cdot 10^{14} \text{ Г/сек}$ и проводимость. Сравнение полученных результатов с экспериментальными значениями приведено на рис. 2. Это сопоставление подтверждает, что источником свободных электронов для ударно сжатых KCl и KBr, как и для NaCl [1], являются донорные уровни, термическая ионизация которых приводит к появлению свободных электронов в зоне проводимости. Предположение о том, что в ударно сжатых KCl и KBr энергетическая ширина щели между валентной зоной и зоной проводимости уменьшается до 2,3 эв, не выдерживает критики, так как при этом расчетные значения концентрации электронов, коэффициентов поглощения и проводимости будут завышены примерно в 10 раз по сравнению с экспериментальными значениями. Такое различие лежит вне пределов точности измерений.

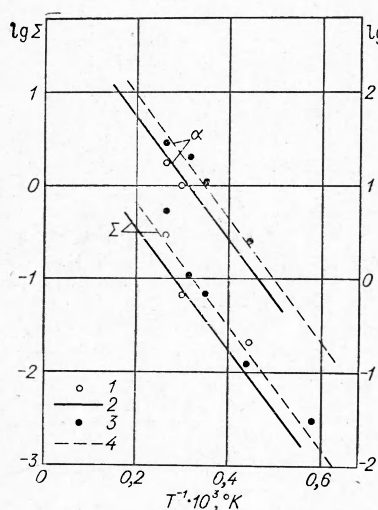


Рис. 2. Зависимость проводимости Σ и коэффициента поглощения от температуры.

KCl: 1 — эксперимент, 2 — расчет; KBr: 3 — эксперимент, 4 — расчет.

Поступила в редакцию
14/III 1969

ЛИТЕРАТУРА

- С. Б. Кормер, М. В. Синицын и др. ЖЭТФ, 1965, **49**, 135.
- И. Ш. Модель. ЖЭТФ, 1957, **32**, 714.
- С. Б. Кормер, М. В. Синицын и др. ЖЭТФ, 1965, **48**, 1033.
- А. А. Бриш, М. Е. Тарасов, В. А. Цукерман. ЖЭТФ, 1960, **38**, 22.
- Л. В. Альтшулер, Л. В. Кулешова, М. Н. Павловский. ЖЭТФ, 1960, **39**, 16.
- С. Б. Кормер, М. В. Синицын и др. ЖЭТФ, 1964, **47**, 1202.
- Л. В. Альтшулер, М. Н. Павловский и др. ФТТ, 1963, **5**, 279.
- С. Б. Кормер, К. Б. Юшко, Г. В. Кришкевич. «Письма в ЖЭТФ», 1966, III, 64.
- Дж. Займан. «Электроны и фононы». ИЛ, 1962.